

Н. С. АНИШИН, Ю. Г. КОЖЕВНИКОВ, В. Л. КРИВЕНКО,
Г. Г. ХАЧИЯН
(Краснодар)

ИССЛЕДОВАНИЕ ОШИБОК КВАНТОВАНИЯ СИГНАЛОВ
В УСКОРЕННОМ АЛГОРИТМЕ
ВЫЧИСЛЕНИЯ ИХ КОРРЕЛЯЦИОННЫХ ФУНКЦИЙ

С целью сокращения требующихся вычислительных ресурсов в работе [1] предложен, а в [2] исследован ускоренный (и одновременно упрощенный) алгоритм вычисления корреляционных функций.

Его сущность состоит в округлении отсчетов одного из входных сигналов до одного из уровней (обычно ближайшего), числовое значение которых представляется двоичным числом, имеющим в своем составе только одну «1» (например, 0,1; 0,01 и т. д.). Второй отличительной особенностью ускоренного алгоритма является учет ошибки такого округления путем подсуммирования ее к следующему отсчету этого же сигнала. Это уменьшает погрешность алгоритма, вызываемую округлением.

В работе [2] выведена общая формула погрешности ускоренного алгоритма вычисления корреляционных функций, требующая знания закона распределения ошибок округления отсчетов до одного из уровней $\pm (1/2)^q$.

Ниже излагаются методика и результаты расчета функции распределения (графики плотности распределения) ошибок квантования для различных одномерных законов распределения сигналов $x(t)$.

Число уровней квантования (в каждую сторону от 0) выбрано равным 7 (от $(1/2)^0$ до $(1/2)^6$, т. е. q_{\max} положено равным 6). На такой выбор влияет следующее техническое соображение (в случае технической реализации алгоритма): с целью более короткого изображения двоичного числа $(0,1)^q$ требуются (включая знак) 4 двоичных разряда (при $q_{\max}=6$). Дальнейшее увеличение q_{\max} вызовет возрастание требующегося числа разрядов без существенного снижения ошибки квантования. Перекодировка, т. е. запоминание q , а не самого числа $(0,1)^q$, проводится для более компактного представления (запоминания) отсчетов при вычислении очередных точек корреляционной функции. В табл. 1 приведены эти перекодировки.

Поскольку процесс образования ошибки квантования в рассматриваемом алгоритме итеративный и существенно нелинейный, простое аналитическое выражение плотности распределения ошибки квантования практически невозможно.

Методика исследования. При исследовании наряду с вероятностными методами включены методы цифрового моделирования. С помощью ЭВМ вычислялись отсчеты функций распределения ошибки на первом, втором, третьем, четвертом и пятом шагах (отсчетах) вычисления корреляционной функции. Обычно к пятому отсчету итеративный процесс сходился.

Заметим, что итеративность возникает из-за того, что ошибка квантования текущего отсчета передается в последующий отсчет и, естественно, деформирует его исходный закон распределения.

Для цифрового моделирования одномерная плотность распределения $p(x)$ отсчетов исходного сигнала, приведенного к интервалу $[-1, 1]$, представлялась 2049 равноточечными отсчетами с номерами i от -1024 до 1024 , т. е.

$$g_i = \begin{cases} p(i/1024), & \text{если } |i| \leq 1024; \\ 0, & \text{если } |i| > 1024. \end{cases} \quad (1)$$

Затем вычислялась плотность распределения ошибки квантования первого отсчета входного сигнала

$$s_i = \begin{cases} 0 & \text{если } 256 \leq |i|; \\ g_{i-1024} + g_{i+512} + g_{i+1024} (= S_i^{(6)}), & \text{если } 128 \leq |i| < 256; \\ S_i^{(6)} + g_{i-512} + g_{i+256} (= S_i^{(5)}), & \text{если } 64 \leq |i| < 128; \\ S_i^{(5)} + g_{i-256} + g_{i+128} (= S_i^{(4)}), & \text{если } 32 \leq |i| < 64; \\ S_i^{(4)} + g_{i-128} + g_{i+64} (= S_i^{(3)}), & \text{если } 16 \leq |i| < 32; \\ S_i^{(3)} + g_{i-64} + g_{i+32} (= S_i^{(2)}), & \text{если } 8 \leq |i| < 16; \\ S_i^{(2)} + g_{i-32} + g_{i+16} + g_{i-16} + g_i, & \text{если } |i| < 8, \end{cases} \quad (2)$$

где i — номер отсчета функции s_i .

Поскольку ошибка квантования суммируется со вторым отсчетом сигнала, то плотность распределения $f_n^{(2)}$ второго скорректированного отсчета сигнала находится

Таблица 1

| n | ∞ | 6 | 5 | 4 | 3 | 2 | 1 | 0 |
|-----------------|-----------|-----------|----------|---------|--------|-------|------|------|
| $(1/2)^n$ | 0,000000 | 0,000004 | 0,00001 | 0,0001 | 0,001 | 0,01 | 0,1 | 1,0 |
| 4-разрядный код | 0000 | 0001 | 0010 | 0011 | 0100 | 0101 | 0110 | 0111 |
| $-(1/2)^n$ | -0,000000 | -0,000001 | -0,00001 | -0,0001 | -0,001 | -0,01 | -0,1 | -1,0 |
| 4-разрядный код | 1000 | 1001 | 1010 | 1011 | 1100 | 1101 | 1110 | 1111 |

путем цифровой свертки функций g_i и s_i [3]:

$$f_n^{(2)} = \begin{cases} \sum_{m=0}^{n+1279} s_{m-255} g_{n-m+255} & \text{при } -1279 \leq n < -769; \\ \sum_{m=0}^{510} s_{m-255} g_{n-m+255} & \text{при } -769 < n < 0; \\ f_{-n}^{(2)} & \text{при } 1279 \geq n > 0, \end{cases} \quad (3)$$

n — номер отсчета функции $f_n^{(2)}$.

В результате свертки плотность распределения имеет 2559 отсчетов, что соответствует изменению непрерывного аргумента от $-5/4$ до $5/4$.

Квантование в соответствии с алгоритмом второго скорректированного отсчета выполняется со случайной ошибкой. Плотность распределения этой ошибки можно получить по формуле (2), заменив в ней g_i на $f_n^{(2)}$ при n , равном i и изменяющемся от -1279 до $+1279$:

$$r_n^{(2)} = \begin{cases} 0 & \text{если } 256 \leq |n|; \\ f_{n-1024}^{(2)} + f_{n+512}^{(2)} + f_{n+1024}^{(2)} (= F_n^{(2)}) & \text{если } 128 \leq |n| < 256; \\ F_n^{(2)} + f_{n-512}^{(2)} + f_{n+256}^{(2)} (= G_n^{(2)}) & \text{если } 64 \leq |n| < 128; \\ G_n^{(2)} + f_{n-256}^{(2)} + f_{n+128}^{(2)} (= H_n^{(2)}) & \text{если } 32 \leq |n| < 64; \\ H_n^{(2)} + f_{n-128}^{(2)} + f_{n+64}^{(2)} (= I_n^{(2)}) & \text{если } 16 \leq |n| < 32; \\ I_n^{(2)} + f_{n-64}^{(2)} + f_{n+32}^{(2)} (= K_n^{(2)}) & \text{если } 8 \leq |n| < 16; \\ K_n^{(2)} + f_{n-32}^{(2)} + f_{n+16}^{(2)} + f_{n-16}^{(2)} + f_n^{(2)} & \text{если } |n| < 8. \end{cases} \quad (2')$$

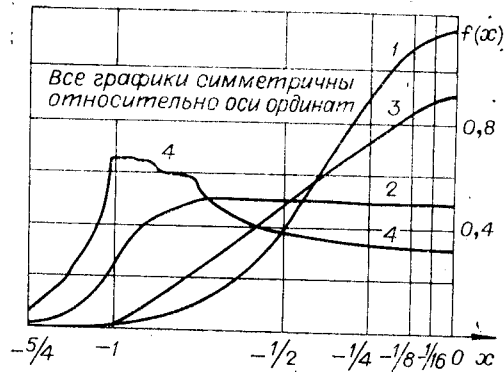
В соответствии с алгоритмом происходит сложение ошибки квантования второго скорректированного отсчета с третьим исходным отсчетом, их сумма будет иметь плотность распределения $f_n^{(3)}$, определяемую по формуле

$$f_n^{(3)} = \begin{cases} \sum_{m=0}^{n+1279} r_{m-255}^{(2)} g_{n-m+255} & \text{при } -1279 \leq n < -769; \\ \sum_{m=0}^{510} r_{m-255} g_{n-m+255} & \text{при } -769 \leq n \leq 0; \\ f_{-n}^{(3)} & \text{при } 1279 \geq n > 0 \end{cases} \quad (3')$$

и т. д. Таким образом, подставляя значения $f_n^{(j)}$ в формулу (2'), имеем величину $r_n^{(j)}$, которая будучи подставленной в (3') дает результат $f_n^{(j+1)}$, т. е. процесс идет итеративно.

Таблица 2

| Тип закона | $j=1$ | $j=2$ | $j=3$ | $j=4$ | $j=5$ | СКО |
|-------------|----------|----------|----------|----------|----------|-------|
| Нормальный | 0,065402 | 0,066575 | 0,066617 | 0,066619 | 0,066619 | 0,200 |
| Равномерный | 0,109080 | 0,109108 | 0,109107 | 0,109108 | 0,109107 | 0,211 |
| Треугольный | 0,084629 | 0,084819 | 0,084820 | 0,084820 | 0,084820 | 0,208 |
| Арксинусный | 0,108023 | 0,117086 | 0,117252 | 0,117291 | 0,117292 | 0,166 |



Как показало цифровое моделирование, примерно на 4–5-м отсчете закон распределения ошибок квантования стабилизируется. При цифровом моделировании использовались стационарные случайные процессы со следующими одномерными законами распределения их мгновенных значений:

- 1) нормальный (усеченный на уровне $\pm 3\sigma_x$), см. (1);
- 2) равномерной плотности на интервале $[-1, 1]$:

$$g_i = \begin{cases} 1/2048, & \text{если } |i| \leq 1024; \\ 0, & \text{если } |i| > 1024; \end{cases} \quad (4)$$

3) треугольной формы:

$$g_i = \begin{cases} (1/1024)(1 - |i|/1024), & \text{если } |i| \leq 1024; \\ 0, & \text{если } |i| > 1024; \end{cases} \quad (5)$$

4) арксинусной формы:

$$g_i = \begin{cases} (1/1024) \left(1 / [\pi \sqrt{1 - (i^2/1024^2)}] \right), & \text{если } |i| \leq 1023; \\ g_{1023}, & \text{если } |i| = 1024; \\ 0, & \text{если } |i| > 1024. \end{cases} \quad (6)$$

Обратим внимание на то, что во избежание деления на 0 при вычислении g_{1024} по первой части (6) его значение принимается равным g_{1023} .

В табл. 2 приведены СКО квантования различных отсчетов для разных законов распределения.

На рисунке даны полученные в результате цифрового моделирования графики установившейся плотности распределения скорректированных отсчетов f_4 входного сигнала, распределенных в интервале $[-5/4, 5/4]$, для различных одномерных законов распределения входного сигнала (1 — нормальный закон, 2 — равномерный, 3 — треугольный, 4 — арксинусный). Из рисунка видно, что все законы распределения, как и следовало ожидать, деформированы в большей или меньшей степени.

Содержимое последней графы табл. 2 — выражение СКО квантования через σ_x исходного сигнала — может быть использовано в формуле полной погрешности вычисления корреляционной функции по ускоренному алгоритму [2]:

$$\sigma_{\text{оп}}^2 = (2/N) (k_{\text{оз}} \sigma_x)^2 \sigma_y^2 [1 - \beta_y(T)], \quad (7)$$

где $k_{\text{оз}}$ — коэффициент из последней графы табл. 2, учитывающий одномерный закон распределения отсчетов входного сигнала $x(t)$; σ_x^2, σ_y^2 — дисперсии отсчетов входных сигналов $x(t)$ и $y(t)$; $\beta_y(T)$ — значение нормированной автокорреляционной функции сигнала $y(t)$ при T , равном шагу квантования по времени.

Таким образом, среднеквадратическая ошибка квантования почти не зависит от закона распределения входного случайного сигнала и составляет около $1/5 \div 1/6$ от среднеквадратического значения входного сигнала. Эта величина может быть использована в качестве коэффициента в формуле (7) для учета влияния типа одномерного закона распределения на погрешность ускоренного алгоритма.

ЛИТЕРАТУРА

1. Анишин И. С. и др. Об одном алгоритме и устройстве для вычисления корреляционной функции. — Автометрия, 1976, № 2.
2. Анишин И. С., Тиков А. М. Ускоренный алгоритм вычисления корреляционных функций и исследование его погрешности. — Автометрия, 1978, № 3.
3. Быков В. В. Цифровое моделирование в статистической радиотехнике. — М.: Сов. радио, 1971.

Поступило в редакцию 10 июля 1979 г.

УДК 621.317 : 519.21

Ю. Г. ЗОЛОТАРЕВ, М. Г. ЗОТОВ

(Москва)

РЕШЕНИЕ ИНТЕГРАЛЬНОГО УРАВНЕНИЯ ВИНЕРА — ХОНФА ПРИ ОГРАНИЧЕНИИ НА СТЕПЕНЬ УСТОЙЧИВОСТИ

В [1] при решении задачи Винера с дополнительным ограничением на степень устойчивости было получено интегральное уравнение

$$\int_0^\infty \omega(\sigma) R_1(\mu - \sigma) d\sigma + R_2(\mu) - \lambda e^{\eta\mu} w(\mu) = 0, \quad (1)$$